

HEMIPTERA-HETEROPTERA DE MEXICO XL: DOS ESPECIES NUEVAS Y NUEVOS REGISTROS DEL GENERO *PSEUDOPAMERA* DISTANT (LYGAEIDAE: MYODOCHINI)

HARRY BRAILOVSKY*

RESUMEN

Se describen dos nuevas especies del género *Pseudopamera* Distant recolectadas en México, en los Estados de Durango, Nayarit, Jalisco, Oaxaca y Chiapas; el género *Pseudopamera* es brevemente redescrito; nuevos registros para *P. ater*, *P. aurivilliana*, *P. institia*, *P. nitidicollis*, *P. nitidula* y *P. setosa* son incluidos; los parámetros y el ejemplar en vista dorsal de la mayoría de las especies son ilustrados.

Palabras clave: Taxonomía, Hemíptera, Heteróptera, Lygaeidae, *Pseudopamera*, Nuevas Especies, Nuevos Registros, México.

ABSTRACT

Two new species of the genus *Pseudopamera* Distant, collected in the Mexican States of Durango, Nayarit, Jalisco, Oaxaca and Chiapas are described; a short description of the genus *Pseudopamera* is included; new Mexican records for *P. ater*, *P. aurivilliana*, *P. institia*, *P. nitidicollis*, *P. nitidula* and *P. setosa* are given; dorsal view and paramere of most of the species are illustrated.

Key words: Taxonomy, Hemiptera, Heteroptera, Lygaeidae, *Pseudopamera* New Species, New Records, Mexico.

INTRODUCCION

La fauna americana de la tribu myodochini (Rhyparochrominae) es muy abundante y diversa. La mayor parte está integrada por especies adaptadas al suelo aunque también se han radiado a otras áreas ecológicas.

Uno de los géneros de myodochini más interesantes lo conforma *Pseudopamera* Distant, que está constituido por especies de talla mediana (4.45 a 8.90 mm), usualmente de tonos brillantes y siempre provistos de un aparato estridulatorio, con el *estrídulitrum* situado en los esternitos abdominales II a IV y el *plectrum* en la cara interna del fémur posterior.

Entre los rasgos estructurales más conspicuos destaca el dimorfismo sexual que

* Instituto de Biología, UNAM. Departamento de Zoología, Laboratorio de Maztozoogía. Apartado Postal 70-153 C.P. 04510 México, D. F., México.

se presenta en algunas especies donde la tibia anterior del macho está provista de una espina larga y aguda colocada en el tercio medio posterior y que en la hembra siempre está ausente. Otro rasgo distintivo es el desarrollo del hemélitro, con especies macrópteras o bien coleopteroides y en esta última condición la membrana queda reducida a una pequeña lengüeta. La relación entre la longitud del I artejo antenal con respecto al ápice del *tylus* es muy marcada, así en algunos taxa el *tylus* alcanza el tercio medio del I artejo y en otros casos apenas llega a tocar el tercio anterior de dicho artejo. El pronoto siempre está constreñido y dividido en dos lóbulos, con el anterior frecuentemente más largo y globoso que el posterior que es trapezoidal.

Las abreviaturas usadas en el texto son: Instituto de Biología, Universidad Nacional Autónoma de México (IBUNAM).

Las medidas están expresadas en milímetros.

Pseudopamera Distant

Pseudopamera Distant, 1882. Biol. Centr. Amer. Hem. 1: 209

Los caracteres diagnósticos estructurales que definen a este género y que por ello son comunes a los dos taxa que se describirán en líneas posteriores quedan sintetizados en los siguientes párrafos.

Cabeza. Distancia interocular mayor que la distancia postocular; longitud total del I artejo antenal mayor que la distancia interocular; cuello muy corto; búcula en forma de "V"; superficie ventral no ranurada. *Tórax. Pronoto.* Enteramente brillante con el lóbulo anterior liso y generalmente del doble de largo que el lóbulo posterior que está irregularmente cacarafiado; collar evidente, punteado y delimitado posteriormente por un conspicuo engrosamiento; disco pronotal profundamente constreñido después del tercio medio, definiendo dos lóbulos, el anterior globoso y el posterior trapezoidal; visto lateralmente el lóbulo anterior está más elevado que el posterior; bordes anterolaterales de ambos lóbulos redondeados. Ventralmente con el mesoepimeron cerrado; área evaporativa reducida; lóbulo de la glándula senescente metatorácica en forma de "media luna" con la curvatura orientada posteriormente. *Patas.* Coxa anterior con una espina larga y aguda; femur posterior con una hilera de espinas excepto en el tercio distal donde las espinas se arreglan en dos hileras; *plectrum* del fémur posterior formado por una franja de espinas o de tubérculos relativamente pequeños; tibia anterior del macho curva con una espina larga y aguda situada hacia el tercio medio posterior y por debajo de la cual corren otras espinas muy cortas a casi tuberculares, excepto en la porción distal interna donde se proyecta una espina larga y robusta; tibia anterior de la hembra curva e inerte, excepto por la espina distal e interna. *Hemélitro.* Macróptero coleopteroide y con el *clavus* provisto de cuando menos cuatro hileras de puntuaciones. *Abdomen.* Porción anterior de la región ventrolateral de los esternitos II a IV provistos de una área estridulatoria en forma de "media luna". *Pigóforo.* Borde postero-ventral engrosado y conspicuamente redondeado. *Parámetros.* Cuerpo medianamente robusto, con el lóbulo posterior alargado, esbelto y curvo hacia arriba (Figs. 1-20). *Espermateca.* Como en la figura 21.

***Pseudopamera luniger* Brailovsky sp. nov.**

(Fig. 29)

Holotipo macho. Cuerpo alargado, brillante, de márgenes paralelos y con el hemélitro macróptero; pubescencia dorso-ventral integrada por pelos largos, erectos y blanquecinos; I artejo antenal muy largo y el IV bicolor. *Coloración dorsal.* Anaranjado castaño oscuro y con las siguientes áreas de color blanco cremoso o blanco sucio: ápice del escutelo, una mancha alargada a los lados de la comisura claval, el ángulo basal y el margen costal del *corium* en sus tercios anterior y medio, dos manchas ovoideas situadas a la altura del tercio medio del endocorio, con la mancha externa casi tocando la franja costal y la interna paralela a la mancha de la comisura claval, una tercera mancha también ovoidea corre cercana al margen apical del *corium* y una cuarta mancha cuadrangular y ensanchada corre transversalmente por encima del ángulo apical del *corium* hasta casi tocar el margen apical inmediato; lóbulo anterior del pronoto brillante y un poco más oscuro que el lóbulo posterior que es de tonos mate o algo brillantes; artejos antenales I a III de un tinte anaranjado castaño pálido (ápice del III más oscuro) y el IV con el tercio basal amarillo anaranjado pálido y el resto anaranjado castaño oscuro; membrana hemelital pardo castaño translúcida y con las siguientes áreas cremosas o amarillo ocráceas: la mayor parte de la venación en su tercio basal, dos manchas ovoideas y pequeñas que corren por debajo del ángulo apical del *corium* y una mancha cercanamente triangular situada en el tercio medio del ápice de la propia membrana. *Coloración ventral.* Cabeza, mesotórax, metatórax y los esternitos abdominales de color anaranjado castaño oscuro mate y con las siguientes áreas de un tinte anaranjado pálido o amarillo anaranjado pálido: artejos rostrales I a IV (gran parte del IV artejo es de color negro) acetábulos, margen posterior de la metapleura y la mayor parte de los márgenes pleurales de los esternitos IV a VI (margen pleural de los esternitos abdominales III y VII irregularmente teñidos por un tinte amarillo o blanco sucio); protórax anaranjado castaño oscuro brillante y con los acetábulos y el margen posterior de la propleura anaranjado castaño pálido y de tonos mate; área estridulatoria de los esternitos abdominales II a IV de tonos anaranjado castaño brillante; patas anaranjado castaño pálido y brillantes y con las siguientes áreas amarillo pálido o anaranjado más pálido: dos manchas situadas a los lados del tercio preapical del fémur anterior, tercio basal de los fémures medio y posterior y los tarsos de los tres pares de patas; pigóforo variegado de anaranjado castaño, amarillo pálido y con algunas manchas negras irregularmente distribuidas.

Cabeza. Longitud total: 1.40; distancia interocular: 0.67; distancia interocelar: 0.33; anchura a través de los ojos: 1.32; distancia preocular: 0.82; longitud de los artejos antenales: I, 1.25; II, 2.12, III, 1.92; IV, 1.97; I artejo antenal muy largo, y con el ápice del *tylus* no alcanzando el tercio medio de dicho artejo (Fig. 22); rostro alcanzando o casi el borde posterior del mesosterno. *Pronoto.* Longitud total del lóbulo anterior: 1.45; longitud total del lóbulo posterior: 0.75; anchura máxima del lóbulo anterior: 1.35; anchura máxima del lóbulo posterior: 1.87. *Escutelo.* Longitud: 1.30; anchura máxima: 1.02. *Hemélitro.* Macróptero alcanzando el margen posterior del VII segmento abdominal y con la membrana entera y nunca reducida; *clavus* con tres hileras largas y una relativamente corta de puntuaciones. *Patatas.* Longitud total

del I artejo tarsal posterior: 1.10; longitud total combinada de los artejos tarsales posteriores II y III: 0.37. *Parámetros*. Como se ilustra en las figuras 1-2. Longitud total del cuerpo: 8.50.

Hembra. Cabeza. Longitud total: 1.45; distancia interocular: 0.72; distancia interocelar: 0.36; anchura a través de los ojos: 1.37; distancia preocular: 0.87; longitud de los artejos antenales: I, 1.17; II, 1.91; III, 1.67; IV, 1.75. *Pronoto*. Longitud total del lóbulo anterior: 1.30; longitud total del lóbulo posterior: 0.73; anchura máxima del lóbulo anterior: 1.35; anchura máxima del lóbulo posterior: 2.07. *Escutelo*. Longitud: 1.40; anchura máxima: 1.07. *Patas*. Longitud total del I artejo tarsal posterior: 1.07; longitud total combinada de los artejos tarsales posteriores II y III: 0.35. Longitud total del cuerpo: 8.82.

Holotipo macho. MEXICO: JALISCO: Estación de Investigación, Experimentación y Difusión Biológica de Chamela, recolectado en trampa nocturna el 2 de diciembre de 1977 por Harry Brailovsky. Depositado en IBUNAM.

Serie de paratipos machos. Tres con la misma localidad que el holotipo pero recolectados el 9 de agosto de 1975 y el 20 de junio de 1977 en trampa nocturna por Harry Brailovsky y M. A. Gurrola. Depositados en IBUNAM. Uno de MEXICO: Nayarit: Compostela, recolectado el 21 de octubre de 1982 por Mario García. Depositado en IBUNAM. Uno de MEXICO: OAXACA: Chila, recolectado el 31 de mayo de 1987 por Francisco Arias. Depositado en IBUNAM. Uno de MEXICO: CHIAPAS: Tapachula, recolectado el 19 de abril de 1983 por Ernesto Barrera. Depositado en IBUNAM.

Serie de paratipos hembras. Dos con la misma localidad que el holotipo pero recolectados el 9 de agosto de 1975 y el dos de octubre de 1976 por Harry Brailovsky. Depositados en IBUNAM. Uno de MEXICO: JALISCO: Puerto Vallarta, recolectado el 23 de junio de 1971 por Eleazar Martín. Depositado en IBUNAM. Uno de MEXICO: NAYARIT: Compostela, recolectado el 21 de octubre de 1982 por Mario García. Depositado en IBUNAM. Dos de MEXICO: NAYARIT: San Blas, recolectados el 8 de agosto de 1979 por Harry Brailovsky. Depositados en IBUNAM. Tres de MEXICO: GUERRERO: Rodecia, recolectados entre el 11 y el 17 de agosto de 1971 por Harry Brailovsky. Depositados en IBUNAM. Uno de MEXICO: OAXACA: Km. 150 carretera Mitla-Tehuantepec, recolectado el 19 de diciembre de 1980 por Harry Brailovsky. Depositado en IBUNAM. Dos de MEXICO: CHIAPAS: Tapachula, recolectados el 19 de abril de 1983 por Ernesto Barrera. Depositados en IBUNAM.

Discusión. Esta llamativa especie es muy cercana a *P. aurivilliana* (Distant) tanto en color como en hábitos generales. Ambos taxa sin embargo difieren en un número importante de caracteres que son los siguientes:

1. El I artejo antenal de *P. luniger* Brailovsky sp. nov., es muy largo, midiendo más de 1.10, y el IV artejo mide más de 1.80 mm. y en *P. aurivilliana* el I artejo es menor de 0.90 mm., y el IV menor de 1.56 mm.
2. El ápice del *tylus* de *P. luniger* no alcanza el tercio medio del I artejo antenal y en la otra especie si llega a alcanzarlo (Figs. 22-23).
3. El ángulo apical del *corium* en *P. luniger* es enteramente de un tinte anaranjado castaño y con ciertos reflejos negruzcos, mientras que en *P. aurivilliana* es amarillo crema y sólo con el extremo más distal del ángulo de color anaranjado castaño negruzco.
4. Los parámetros guardan diferencias como se aprecia en las figuras 1-4.

***Pseudopamera coleoprata* Brailovsky sp. nov.**
(Figs. 24-25)

Holotipo macho. Cuerpo alargado, brillante, de márgenes paralelos y con el hemélitro de tipo coleopteroide; pubescencia dorsoventral integrada por pelos largos, erectos y blanquecinos; I artejo antenal corto y el IV bicolor. *Coloración dorsal.* Cabeza pardo rojiza oscura a casi negra; artejos antenales I a III amarillo ocráceo pálido y con las uniones apicales de un tinte anaranjado castaño oscuro; IV artejo antenal con la unión basal y los 2/3 apicales de color anaranjado castaño oscuro y el resto que comprende gran parte del tercio basal de un tinte amarillo ocráceo pálido; pronoto y escutelo negro brillante con los ángulos humerales del lóbulo posterior del pronoto y el ápice del escutelo ocráceo oscuro; *clavus* anaranjado castaño oscuro y con el área adyacente al escutelo y las fosetas de un tinte negruzco; *corium* tricolor siendo negro el ángulo subbasal, una mancha irregular sobre el endocorio mesial y la mayor parte del ángulo apical, de color amarillo ocráceo pálido, el margen costal en sus tercios anterior y medio, y una mancha cuadrangular ensanchada que corre transversalmente por encima del ángulo apical hasta casi tocar el margen apical inmediato y el resto de un tinte anaranjado castaño oscuro que ocupa el ángulo basal, el margen costal postmesial (por encima de la mancha cuadrangular amarillo ocrácea) el endocorio superior y dos manchas alargadas e internas cercanas al margen apical del *corium*; fosetas hemelitales negruzcas; membrana hemelital anaranjado castaño ambarina translúcida y con el ángulo basal anaranjado más brillante; conexivo y segmentos dorsales del abdomen anaranjado castaño oscuro. *Coloración ventral.* Cabeza, tórax y el área estridulatoria del abdomen brillantes y de un tinte pardo rojizo oscuro a casi negro; esternitos abdominales mate y de color pardo rojizo a negro; artejos rostrales I a IV amarillo ocráceo pálido y con el ápice del IV negro; coxa de los tres pares de patas y los trocanteres de la pata anterior pardo rojiza brillante; fémur anterior anaranjado castaño brillante y con el ápice amarillo ocráceo pálido; trocanteres y fémures de las patas media y posterior y las tibias y tarsos de los tres pares de patas de color amarillo ocráceo pálido y con las siguientes áreas de un tinte anaranjado oscuro: un anillo subdistal incompleto sobre el fémur posterior (a veces difícil de discernir), la unión basal y apical de las tibias y la unión apical del I artejo tarsal y la mayor parte del III artejo tarsal de los tres pares de patas; pigóforo pardo rojizo a casi negro.

Cabeza. Longitud total: 1.14; distancia interocular: 0.60; distancia interocelar: 0.40; anchura a través de los ojos: 1.04; distancia preocular: 0.68; longitud de los artejos antenales: I, 0.72; II, 1.30; III, 1.06, IV, 1.12; I artejo antenal mediano y con el ápice del *tylus* casi alcanzando el tercio medio de dicho artejo; rostro alcanzando o casi el borde posterior del mesosterno. *Pronoto.* Longitud total del lóbulo anterior: 1.36; longitud total del lóbulo posterior: 0.67; anchura máxima del lóbulo anterior: 1.36; anchura máxima del lóbulo posterior: 1.54. *Escutelo.* Longitud: 1.04; anchura máxima: 0.80. *Hemélitro.* Coleopteroide, proyectándose hasta cerca del margen posterior del VI segmento abdominal y con la membrana muy corta y reducida a una lengüeta; *clavus* con tres hileras largas y una hilera más corta de puntuaciones. *Pa-*

tas. Longitud total del I artejo tarsal posterior: 0.66; longitud total combinada de los artejos tarsales posteriores II y III: 0.32. **Parámetros.** Como se ilustra en las figuras 5-6.

Longitud total del cuerpo: 6.58.

Hembra. Cabeza. Longitud total: 1.28; distancia interocular: 0.66; distancia interocelar: 0.42; anchura a través de los ojos: 1.10; distancia preocular: 0.72; longitud de los artejos antenales: I, 0.68; II, 1.28; III, 1.08; IV, 1.14. **Pronoto.** Longitud total del lóbulo anterior: 1.30; longitud total del lóbulo posterior: 0.67; anchura máxima del lóbulo anterior: 1.34; anchura máxima del lóbulo posterior: 1.64. **Escutelo.** Longitud: 1.04; anchura máxima: 0.80. **Patás:** Longitud total del I artejo tarsal posterior: 0.70; longitud total combinada de los artejos tarsales posteriores II y III: 0.34. Longitud total del cuerpo: 6.92.

Holotipo macho. MEXICO: DURANGO: km. 5 carretera Durango-Parral, recolectado el 5 de agosto de 1979 por Ernesto Barrera. Depositado en **IBUNAM.**

Serie de paratipos machos. Diez de **MEXICO:** DURANGO: km. 5 carretera Durango-Parral, recolectados el 5 de agosto de 1979 por Harry Brailovsky, Ernesto Barrera y Guillermina Ortega. Depositados en **IBUNAM.** Dos de **MEXICO:** DURANGO: Cuencamé, recolectados el 10 de julio de 1985 por Ernesto Barrera. Depositados en **IBUNAM.** Uno de **MEXICO:** DURANGO: Santa Lucía, recolectados el 5 de agosto de 1979 por Harry Brailovsky. Depositado en **IBUNAM.**

Serie de paratipos hembras. Diecisiete de **MEXICO:** DURANGO: km. 5 carretera Durango-Parral, recolectados el 5 de agosto de 1979 por Harry Brailovsky, Ernesto Barrera y Guillermina Ortega. Depositados en **IBUNAM.** Uno de **MEXICO:** DURANGO: Cuencamé, recolectado el 10 de julio de 1985 por Ernesto Barrera. Depositado en **IBUNAM.**

Habitat. Esta especie fue capturada golpeando la fronda seca de *Beaucarnea* sp. (Liliaceae), la cual crece en zonas calizas con vegetación semiárida del tipo matorral xerofítico.

Discusión. Externamente recuerda a *P. nitidula* (Uhler), teniendo ambas una coloración similar y un patrón estructural cercano, sin embargo ambos taxa no están íntimamente relacionados.

En *P. coleoptrata* Brailovsky sp. nov., los hemélitros son de tipo coleopteroide con la membrana reducida a una lengüeta que no se proyecta más allá del margen posterior del VI segmento abdominal y la tibia anterior del macho tiene una espina larga y aguda ocupando el tercio medio posterior (Figs. 24-26). En *P. nitidula* la tibia anterior de ambos sexos es inerte y los hemélitros son macrópteros alcanzando el ápice del abdomen. La longitud total del lóbulo anterior y posterior del pronoto son mayores en *P. coleoptrata*, cuyos parámetros difieren como se aprecia en las figuras 5-8.

***Pseudopamera ater* (Distant)**

Prytanes ater Distant, 1893. Biol. Centr. Amer. 1: 402

(Fig. 27)

Esta especie de hábitos geófilos, corre activamente en el substrato, refugiándose en pequeñas grietas o bajo la hojarasca de zonas templadas o semiáridas. Es una

taxa negro brillante, con los hemélitros de tipo coleopteroide y con los parámetros como en las figuras 9-10.

Originalmente descrita de México y posteriormente citada para Guatemala.

MEXICO: GUERRERO: Amula. **MORELOS:** Cuernavaca.

Nuevos registros. MEXICO: GUERRERO: Chilpancingo, Chapa, Estación de Microondas de Tuxpan (cercano a Iguala), Teucizapan, Papalutla, km. 18 carretera Taxco-Ixcateopan y km 10 carreta Ixcateopan-Teloloapan. **MORELOS:** Tepoztlán, Yautepec y Amatlán. **ESTADO DE MEXICO;** Malinalco. **OAXACA:** Huajuapán de León.

Pseudopamera aurivilliana Distant

Pseudopamera aurivilliana Distant, 1882. Biol. Centr. Amer. I: 209
(Fig. 30)

La tibia posterior del macho está armada con una espina larga y aguda de posición posteromesial, el IV artejo antenal de ambos sexos guarda un tinte amarillo en el tercio basal, tratándose de individuos mayores de 6.30 mm., y con el lóbulo anterior del pronoto nunca más del doble de largo que la longitud del lóbulo posterior. El ápice de la membrana hemelítral posee una mancha triangular de color amarillo o crema. Los parámetros quedan ilustrados en las figuras 3-4.

Esta especie es el tipo de *Pseudopamera* y fue originalmente descrita de México y posteriormente citada para el sur de los Estados Unidos de Norteamérica (Arizona y Texas).

MEXICO: BAJA CALIFORNIA SUR: Loreto e Isla Espíritu Santo. **TAMAULIPAS:** San José. **MORELOS:** Progreso. **OAXACA:** Tehuantepec.

Nuevos registros. MEXICO: BAJA CALIFORNIA SUR: 15 millas al norte de el Refugio, San Miguel, San Venancio, Todos Santos y 1 milla al sur de Mulege. **SONORA:** Hermosillo, Esperanza, Desemboque, Alamos, Navjoa y La Puntada. **CHIHUAHUA:** Chihuahua y 10 millas al norte de Jiménez. **NUEVO LEÓN;** Linares, km. 23 carretera Linares-San Roberto y General Terán. **SINALOA:** 26 millas al norte de los Pericos, Culiacán, Guamúchil y Mazatlán. **TAMAULIPAS:** La Pesca, Abasolo, Gómez Farías, Villa Aldama y Ciudad Victoria. **NAYARIT:** Rincón de Guayabitos. **JALISCO:** Guadalajara y Chamela. **MICHOACÁN:** Buena Vista, Tomatlán, Nueva Italia y 26 km., al oeste de Morelia. **COLIMA:** Manzanillo. **DURANGO:** 2 millas al noroeste de Gómez Palacios. **GUERRERO:** Ciudad Altamirano. **MORELOS:** Jonatepec, 9 millas al sur de Cuernavaca, Villa de Ayala y Ticumán. **HIDALGO:** Tasquillo. **OAXACA:** Tehuantepec.

Pseudopamera institia (Distant)

Erlacda ? institia Distant, 1893. Biol. Centr. Amer. I: 401
(Fig. 28)

Esta especie de hábitos geófilos y macróptera fue bellamente ilustrada por Distant (1893). Los parámetros como en las figuras 13-14.

Endémica de la República Mexicana y aparentemente no vuelta a citar fuera de su localidad tipo.

MEXICO: GUERRERO: Amula.

Nuevos registros. MEXICO: MICHOACAN: Tinganbato. GUERRERO: km. 25 carretera Chilpancingo-Omilteme. MORELOS: Xochicalco y Cañón de Lobos. ESTADO DE MEXICO: Temascaltepec y km. 6 carretera Temascaltepec-Tenayuca.

***Pseudopamera nitidicollis* (Stål)**

Pamera nitidicollis Stål, 1874. Enum. Hem. 4: 150

Guarda una distribución nortea, que comprende los Estados de Arizona, Nuevo México y Texas en los Estados Unidos de Norteamérica y el norte de México. Los parámetros quedan ilustrados en las figuras 15-16.

MEXICO: NUEVO LEON: Monterrey.

Nuevos registros. MEXICO: SONORA: Alamos.

***Pseudopamera nitidula* (Uhler)**

Pamera nitidula Uhler, 1893. Death Val. Exp.: 262-263
(Fig. 26)

La tibia anterior tanto del macho como de la hembra son curvas e inermes, careciendo de una espina larga y aguda en el tercio medio-posterior, la membrana hemelital muestra en el tercio apical una mancha irregular blanquecina y el lóbulo anterior del pronoto es conspicuamente mayor que el lóbulo posterior. Los parámetros quedan ilustrados en las figuras 7-8.

De hábitos geófilos, suele recolectarse en zonas semiáridas con matorrales xerofíticos así como también en zonas templadas de pino-encino.

Previo a este estudio sus límites distribucionales ocupaban el centro y sur de los Estados Unidos de Norteamérica (California, Arizona, Nuevo México, Texas, Utah y Colorado) y el norte de México.

MEXICO: BAJA CALIFORNIA NORTE: Isla Ángel de la Guarda. BAJA CALIFORNIA SUR: San José del Cabo, Cabo San Lucas e Isla San Marcos. SINALOA: Los Mochis.

Nuevos registros. MEXICO: BAJA CALIFORNIA SUR: 24 millas al oeste de Sta. Rosalía, 4.8 millas al norte de San Ignacio, 5 millas al sur de San Miguel, 26 millas al oeste de La Paz, 13 millas al norte de Arroyo de San Diego, 14 millas al sur de El Arco, Mulege, Boca de la Sierra, 22 millas al noroeste de Pénjamo, Loreto e Isla Espíritu Santo. SONORA: SAN BERNARDINO; Río Mayo, Bahía de San Pedro, 18 millas al este de El Puerto y Navojoa. CHIHUAHUA: km. 23 carretera Jiménez-Ciudad Camargo, Chihuahua y Salamanca. COAHUILA: San Pedro. NUEVO LEON: Bustamante y Peña Nevada (Zaragoza). SINALOA: Los Mochis y 26 millas al norte de Los Pericos. HIDALGO: Tasquillo, Huichapa y Otongo. PUEBLA: San Diego y Tehuacán. OAXACA: km. 4 carretera Oaxaca-Guelatao y Huajuapán de León.

Pseudopamera setosa* (Stål)Pamera setosa* Stål, 1874. Enum. Hem. 4: 150

(Fig. 31)

La membrana hemelítral translúcida, el fémur anterior densamente piloso con pelos erectos y blanquecinos, los ojos algo protuberantes y la longitud del cuerpo siempre menor de 4.80 mm., diagnostican a esta especie. Los parámetros quedan ilustrados en las figuras 11-12.

Su distribución corre desde el sur de los Estados Unidos de Norteamérica (California, Arizona y Texas) hasta Guatemala. Para México no se definen localidades.

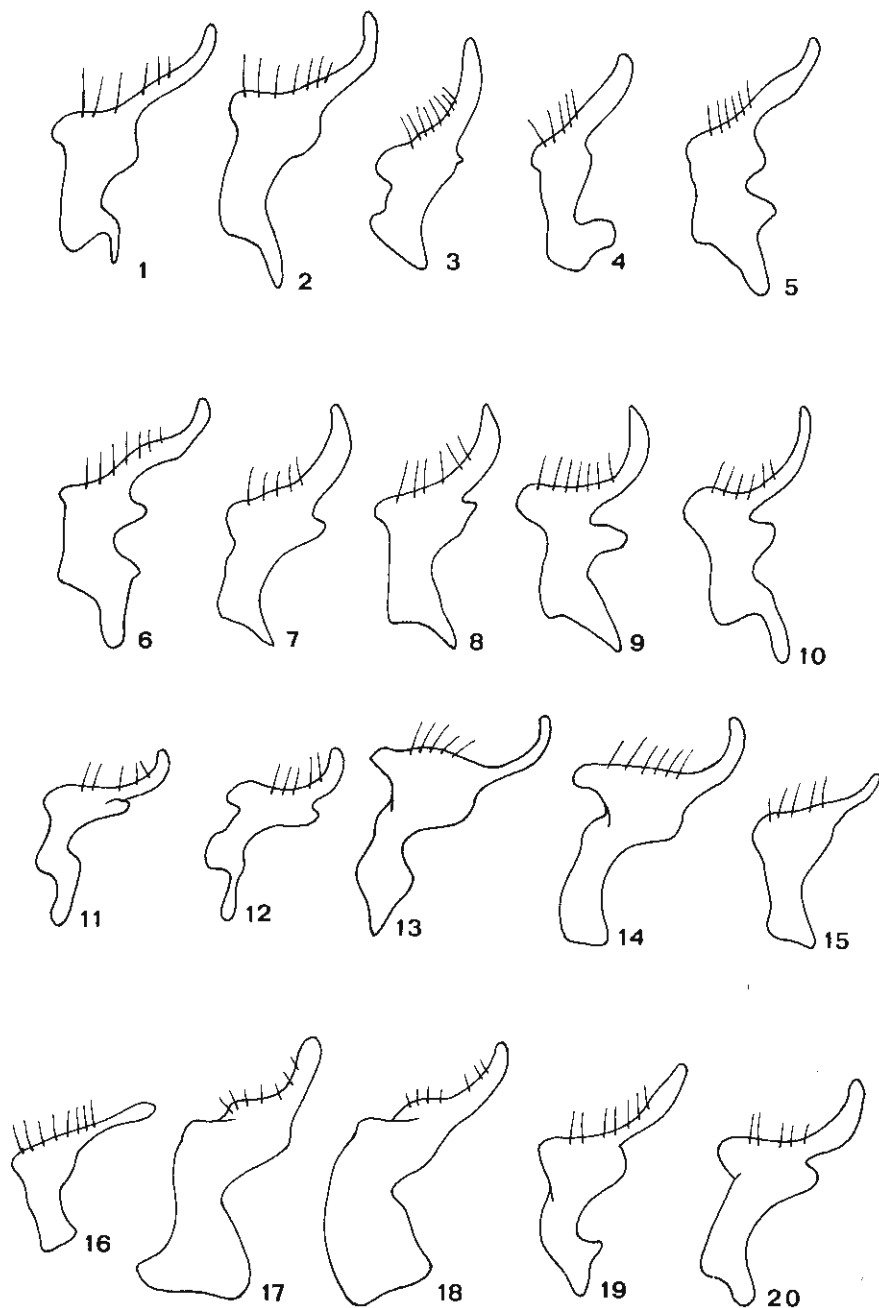
Nuevos registros. MEXICO: CHIHUAHUA: La Bufa. TAMAULIPAS: Ciudad Victoria. JALISCO: Chamela. MICHOACAN: Putzio. GUERRERO: km. 3 carretera Chilpancingo-Chichihualco. PUEBLA: Esperanza. ESTADO DE MEXICO: Malinalco. MORELOS: Lago de Tequesquitengo, Tepoztlán y Yautepec. PUEBLA: Valsequillo. OAXACA: Montealbán y km. 20 carretera 175 Oaxaca-Guelatao.

AGRADECIMIENTOS

Agradezco al Biólogo Ernesto Barrera (IBUNAM) las fotografías que acompañan al texto y a la maestra Elvira Esparza por las bellas ilustraciones. Especial agradecimiento al Consejo Nacional de Ciencia y Tecnología (CONACyT) por el apoyo financiero otorgado para el crecimiento de las colecciones científicas del IBUNAM en su Sección de Entomología.

LITERATURA CITADA

- HARRINGTON, J., 1980. A generic level revision and cladistic analysis of the Myodochini of the World (Hemiptera, Lygaeidae, Rhyparochrominae). *Bull. Amer. Mus. Nat. Hist.* 167 (2): 49-116.
- SLATER, J.A., 1964. *A Catalogue of the Lygaeidae of the World. Vol. II.* Baltimore, Waverley Press, Inc.: 1090-1093 y 1163-1166.



Figs. 1-20. Parâmeros de *Pseudopamera* spp. Figs. 1-2. *P. luniger* Brailovsky sp. nov. Figs. 3-4. *P. aurivilliana* Distant. Figs. 5-6. *P. coleoprata* Brailovsky sp. nov. Figs. 7-8. *P. nitidula* (Uhler). Figs. 9-10. *P. ater* (Distant). Figs. 11-12. *P. setosa* Stål. Figs. 13-14. *P. institia* (Distant). Figs. 15-16. *P. nitidicollis* (Stål). Fig. 17-18. *P. rubropicta* (Barber). Figs. 19-20. *P. coloradensis* (Barber).

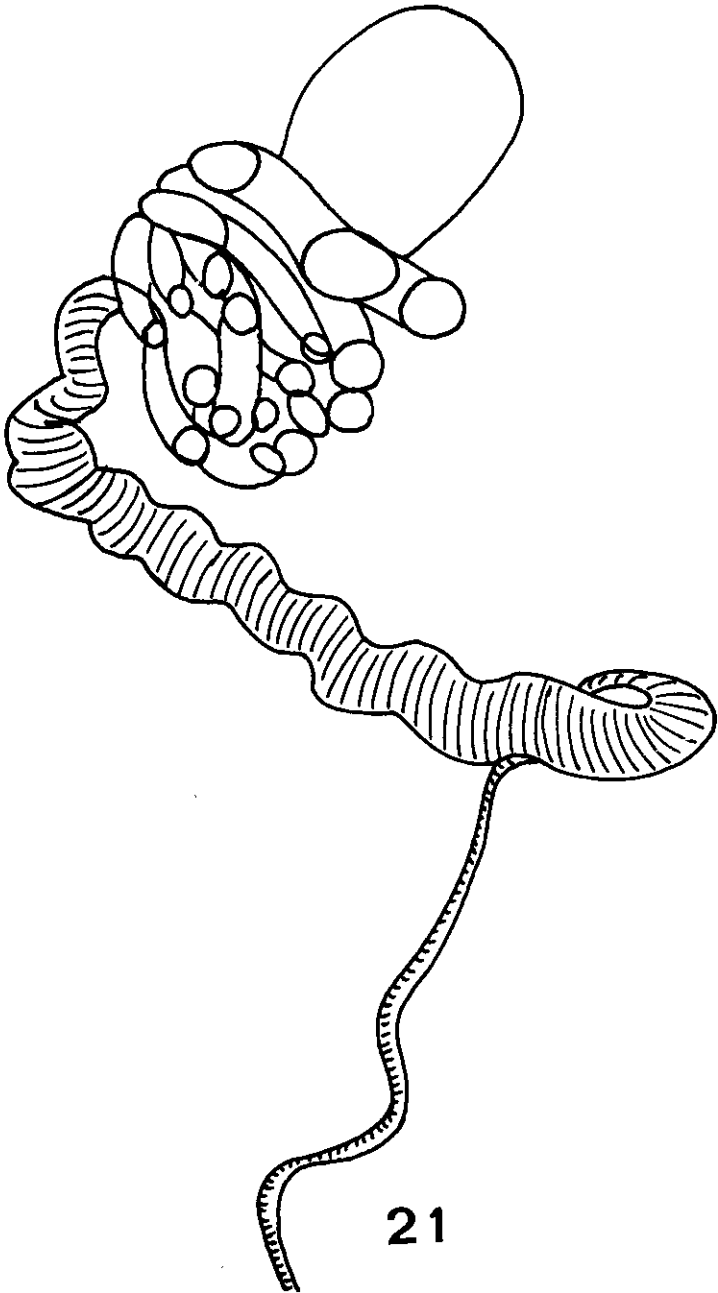
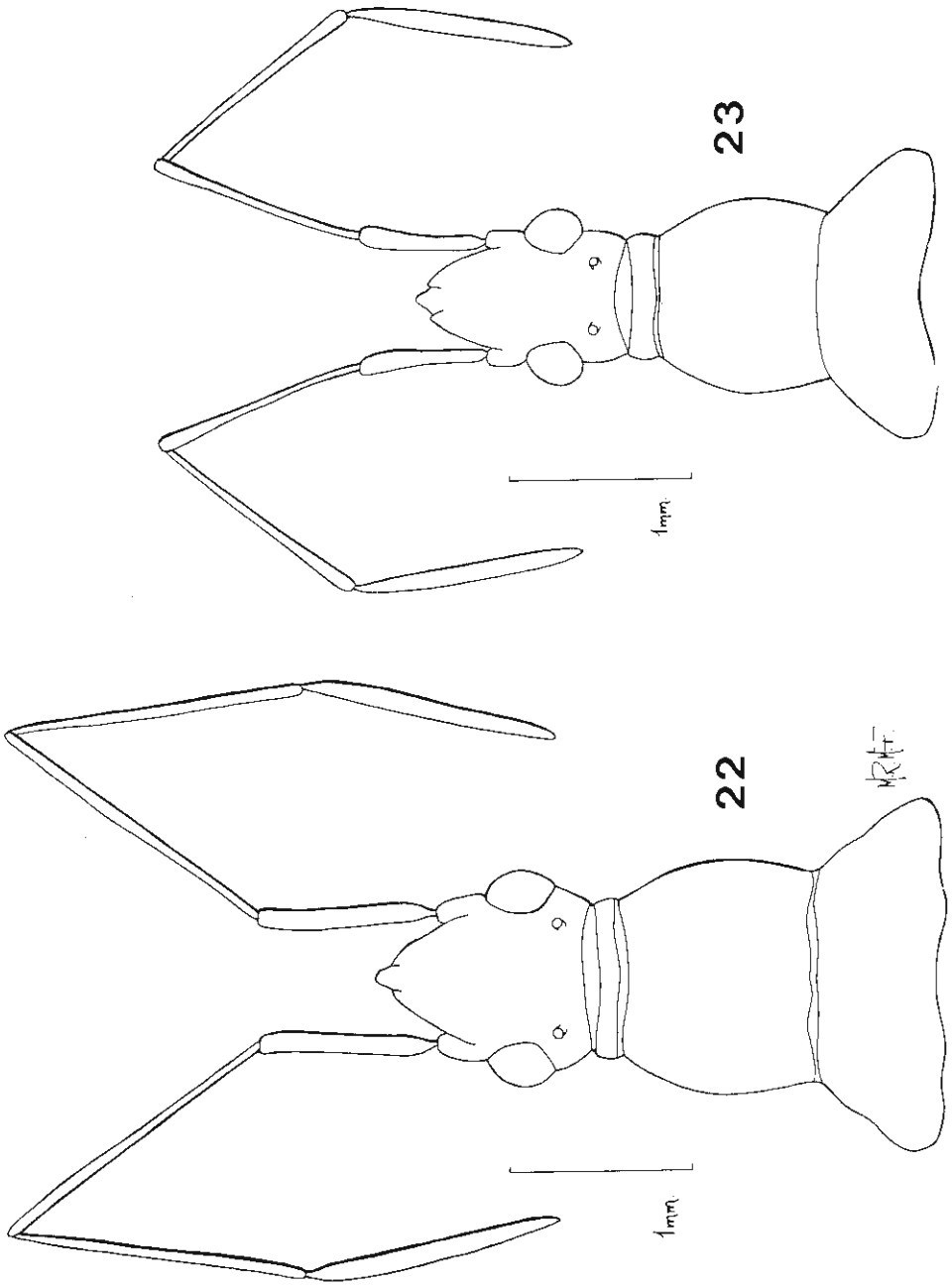
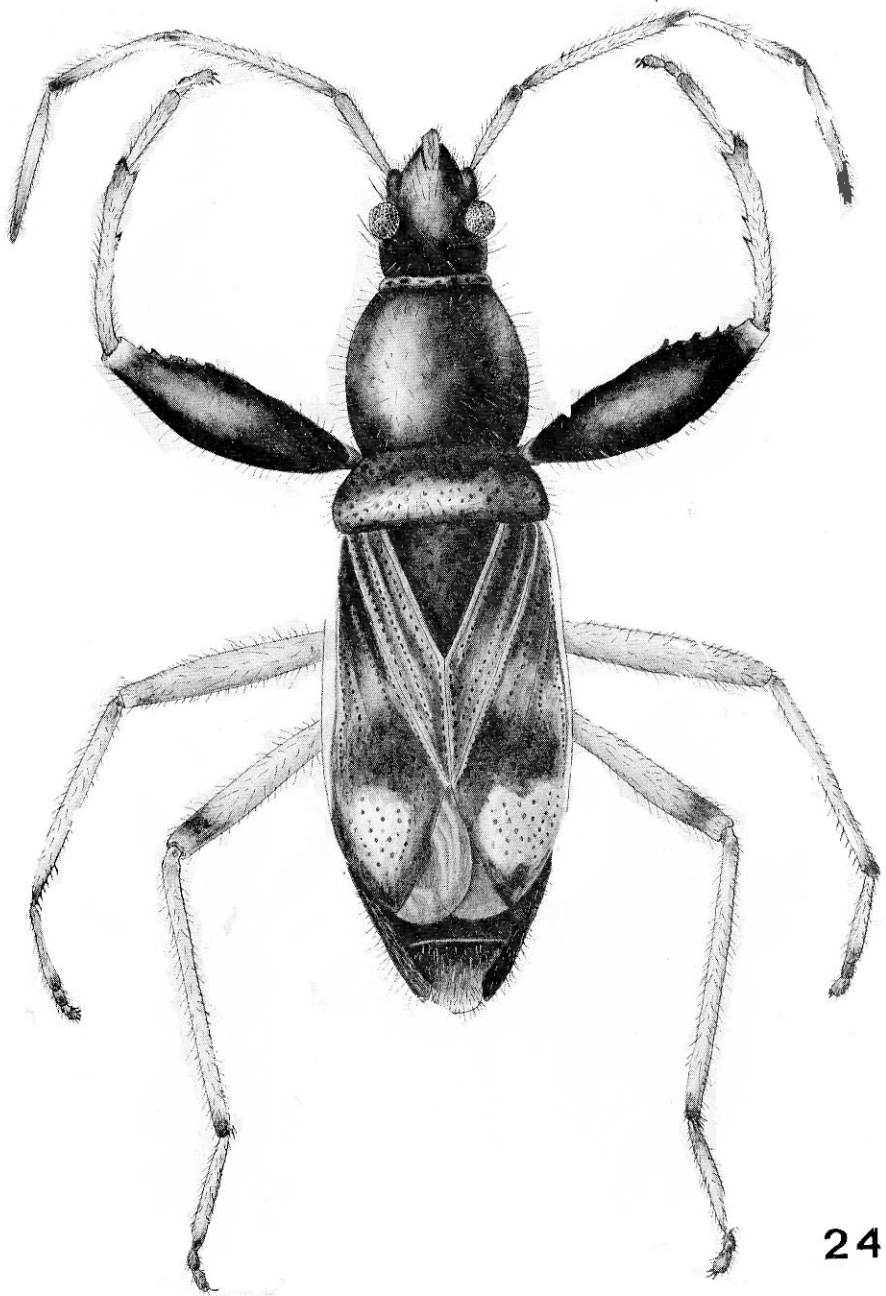


Fig. 21. Espermateca de *Pseudopamera aurivilliana* Distant.

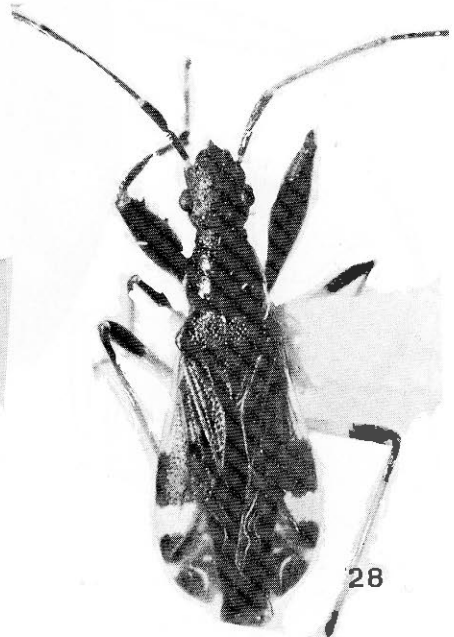
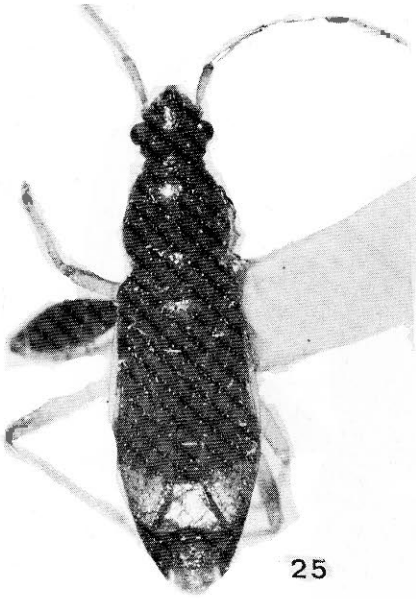


Figs. 22-23. Cabeza y pronoto en vista dorsal de *Pseudopamera* spp. Fig. 22. *P. luniger* Brailovsky sp. nov. Fig. 23. *P. aurivilliana* Distant.

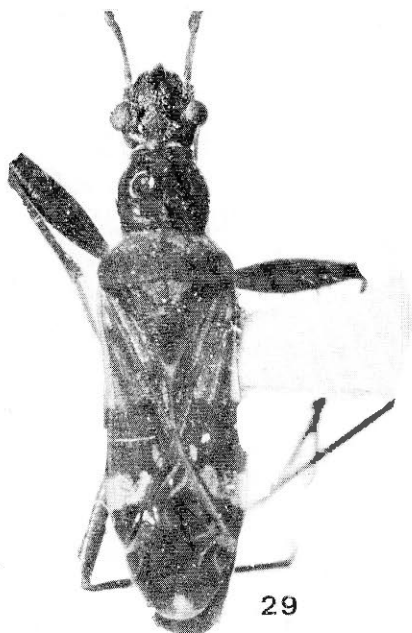


24

Fig. 24. Vista dorsal de *Pseudopamera coleoprata* Brailovsky sp. nov.



Figs. 25-28. Vista dorsal de *Pseudopamera* spp. Fig. 25. *P. coleoprata* Brailovsky sp. nov. Fig. 26. *P. nitidula* (Uhler). Fig. 27. *P. ater* (Distant). Fig. 28. *P. institia* (Distant).



Figs. 29-31. Vista dorsal de *Pseudopamera* spp. Fig. 29. *P. luniger* Brailovsky sp. nov. Fig. 30. *P. aurivilliana* Distant. Fig. 31. *P. setosa* (Stål).